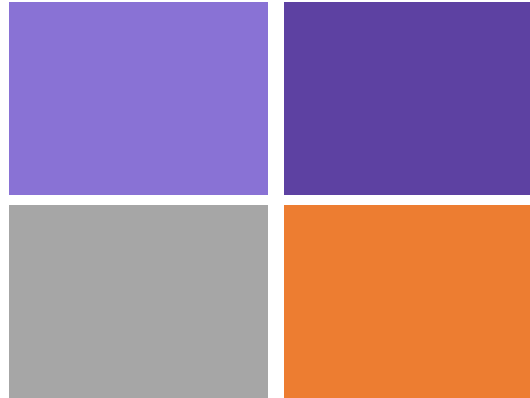


Semaine 8

Charges axiales Composites



PARTIE 1: (slide 6 - 18)

Poutres chargées axialement

(Chapitre 5.12 de Gere et Goodno)

PARTIE 2: (slide 19 - 36)

Poutres Composites

(Chapitre 6 de Gere et Goodno)

v. 2022

PROGRAMME DU COURS, semaines 7-10

Sem	Date	Matière	Cours	Exos
Herbert Shea				
7	mardi 01.11	Poutre: forces internes, relation différentielles, forces distribuées	x	
7	jeudi 03.11	ε et σ _normale en flexion pure. Moment inertie de poutre	x	Série 7
8	mardi 08.11	charge axiale (et normales). poutre composite		Série 7
8	jeudi 10.11	Flèche des poutres pt1	x	Série 8
9	mardi 15.11	Flèche des poutres pt 2	x	Série 8
9	jeudi 17.11	Systèmes indéterminés et thermiques	x	Série 9
10	mardi 22.11	Energie déformation Flambage	x	Série 9+10
10	jeudi 24.11	fin Flambage	x	Série 10

Résumé chapitre précédent (semaine 7b)

Poutre en flexion pure ou forces en y

■ Def. Relative normale:

$$\varepsilon_x = -\frac{y - y_0}{\rho} = -\kappa(y - y_0)$$

- y_0 : Position de l'axe neutre
- ρ : Rayon de courbure
- $\kappa = \frac{1}{\rho}$: Courbure
- $y - y_0$: Distance de l'axe neutre
- y_0 = Centroïde de la section transverse pour poutres mono-matériaux:

$$y_0 = \frac{\int_A y dy dz}{A}$$

□ Contrainte normale:

$$\sigma_x(x, y) = -\frac{M_z(x)}{I_{z,y_0}}(y - y_0)$$

- I_{z,y_0} : Moment d'inertie de la section sur un axe parallèle à l'axe z passant par l'axe neutre
- $I_{z,y_0} = \int_A (y - y_0)^2 dA$

$$\blacksquare M_z(x) = \frac{E}{\rho} I_{z,y_0}$$

□ Contrainte normale maximum:

$$|\sigma_{x,max}(x)| = \frac{|M_z(x)|}{I_{z,y_0}} c = \frac{|M_z(x)|}{S}$$

- c : Distance maximale vers l'axe neutre
- $S = \frac{I_{z,y_0}}{c}$: Module d'inertie élastique

Résumé chapitre actuel (semaine 8a)

Poutre en flexion pure ou forces en y

- Contrainte normales pour poutre avec charge axiale:

$$\sigma_x = \frac{F_x}{A} - E \frac{y - y_0}{\rho}$$

- F_x : Charge axiale, A : section de la poutre
- y_0 : Position de l'axe neutre dans le boîtier de flexion pure.

- Position de l'axe neutre pour les poutres avec charge axiale :

$$y'_0 = \frac{F}{M_z(x)} \frac{I_{z,y_0}}{A} + y_0$$

- Contrainte normale pour les poutres composites:

$$\sigma_x(y) = -E(y) \frac{y - y_0}{\rho}$$

- Position de l'axe neutre pour les poutres composites: $y_0 = \frac{\sum_i E_i Q_i}{\sum_i E_i A_i}$

- $Q = \int_A y dA$

- Contrainte normale dans les poutres composites:

$$\sigma_x(x, y) = - \frac{E(y) M_z(x)}{\langle EI_{z,y_0} \rangle} (y - y_0)$$

- $\langle EI_{z,y_0} \rangle = \sum_i E_i I_{z,y_0,i}$

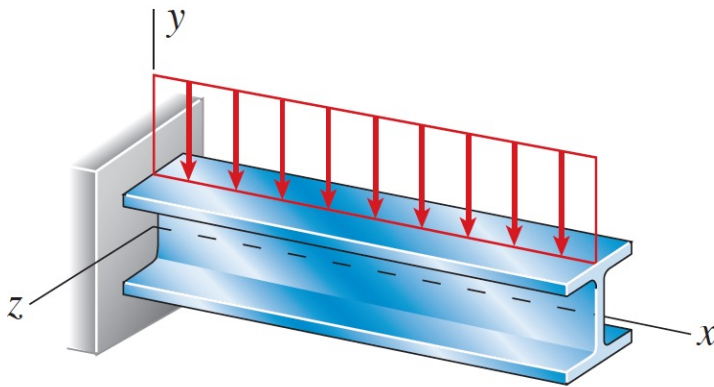
- $M_z(x) = \frac{1}{\rho} \langle EI_{z,y_0} \rangle$

Semaine 8a – partie 1

Objectifs d'apprentissage de cette section

- Savoir utiliser la superposition pour trouver le nouvel **axe neutre d'une poutre mono-matériau sous charge combinée en x et en y**

Que ce passe-t-il si une charge axiale (en x) est ajoutée à charge en y ?

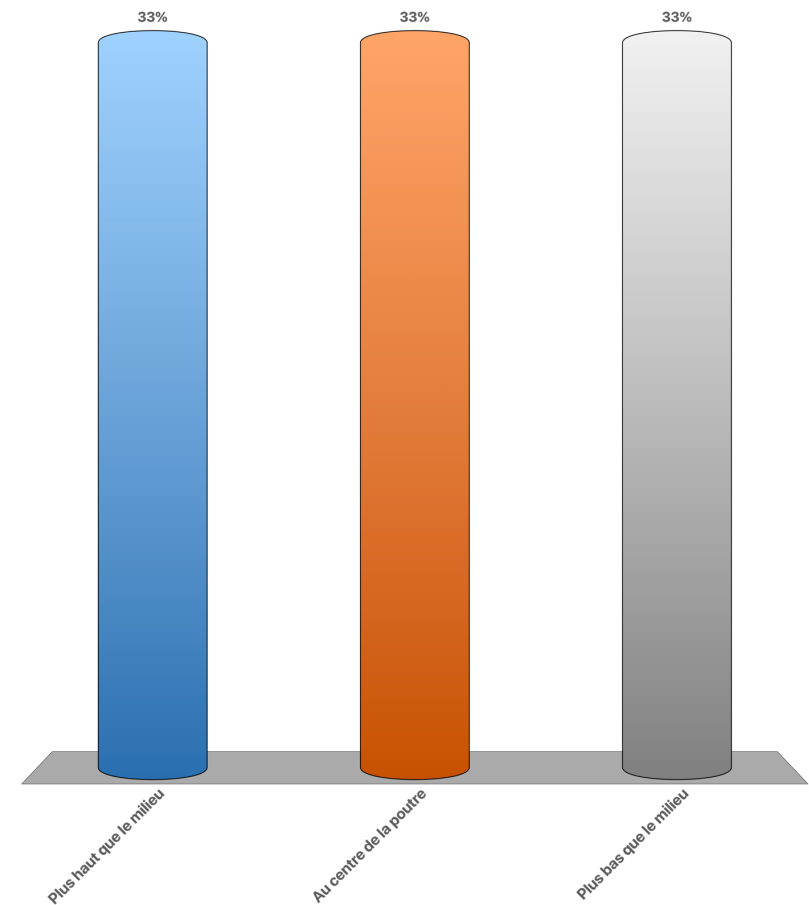
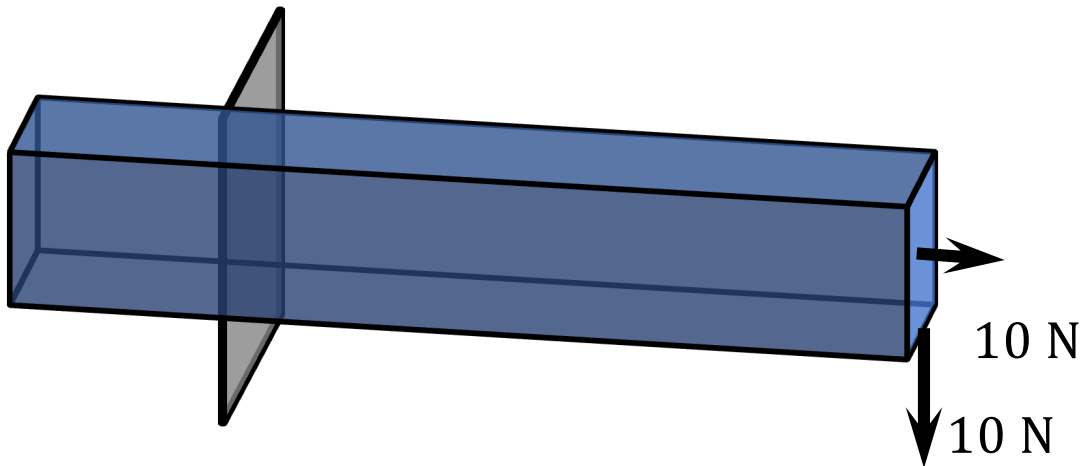


Semaine dernière
(que des moments
pure et des forces
verticales)

Ces slides:
aussi des forces axiales

Où se trouve l'axe neutre?

- A. Plus haut que le milieu
- B. Au centre de la poutre
- C. Plus bas que le milieu



Contrainte des poutres mono-matériau sous charge axiale et transverse

- Nous pouvons appliquer le principe de superposition et séparer le problème en:

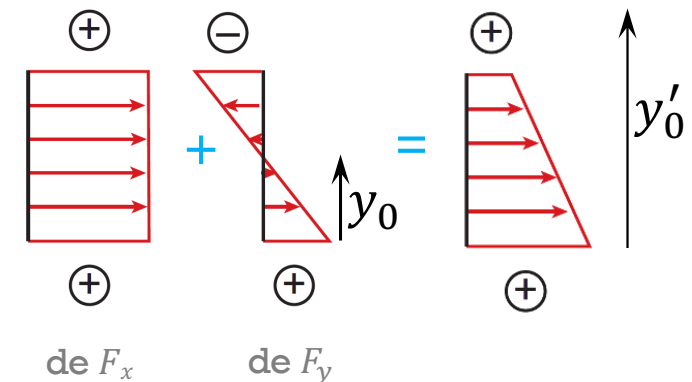
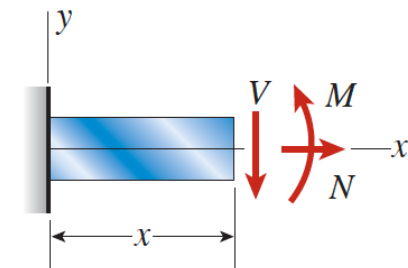
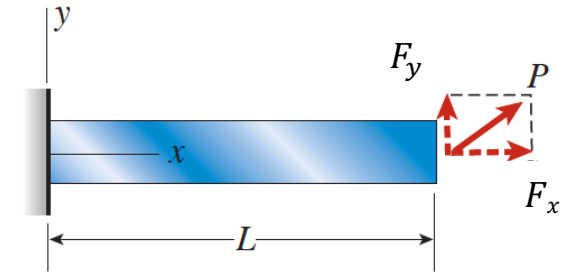
- Élongation pure (force normale F_x selon x)
- Flexion pure (due par exemple à une force selon y)

La contrainte normale (combinée) est alors:

$$\sigma_x = \frac{F_x}{A} - E \frac{y-y_0}{\rho} = \frac{F_x}{A} - \frac{M_z(x)}{I_{z,y_0}}(y - y_0)$$

Attention y_0 est l'axe neutre en flexion pure

- rappel: axe neutre = axe où $\sigma_x(y'_0) = 0$
- **l'axe neutre y_0 calculé pour la flexion pure n'est plus le « vrai » axe neutre y'_0 !**



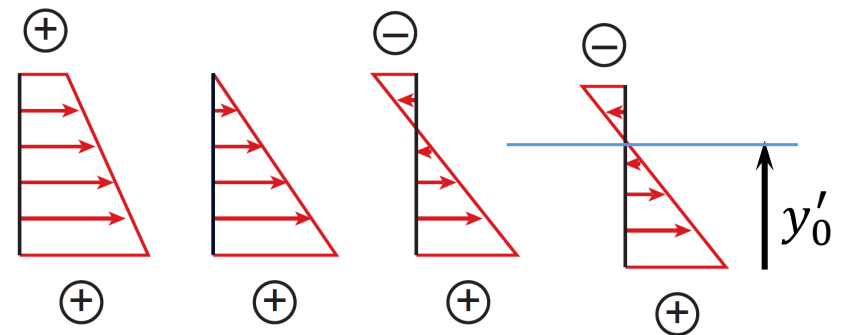
Contrainte des poutres sous charge axiale et transverse

- Pour calculer la position du nouvel axe neutre y'_0 (où $\sigma_x=0$):

$$\sigma_x(y = y'_0) = 0 = \frac{F_x}{A} - E \frac{y'_0 - y_0}{\rho}$$

$$y'_0 = \frac{F_x}{AE} \rho + y_0 = \frac{F_x}{AE} \frac{EI_{z,y_0}}{M_z(x)} + y_0$$

$$y'_0 = \frac{F_x}{M_z(x)} \frac{I_{z,y_0}}{A} + y_0$$



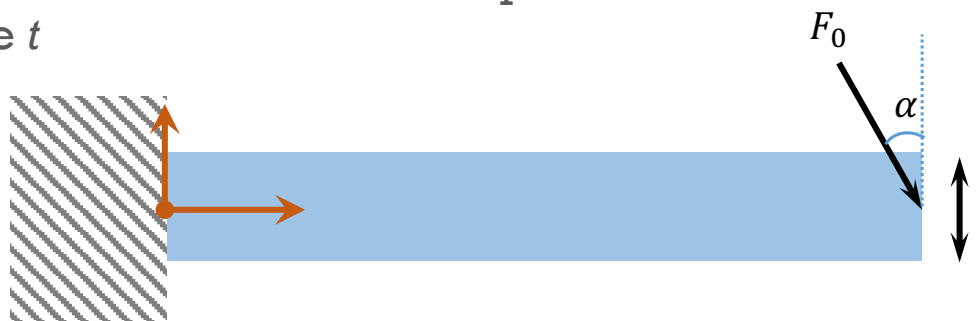
- y'_0 peut être à l'extérieur de la poutre !

Voir Q1 et Q4 série semaine 8a

Exemple

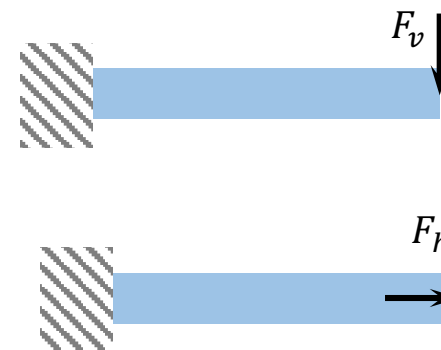
Charge inclinée

- Calculer la position de l'axe neutre en fonction de α pour une poutre de section carrée t



- Nous appliquons la superposition et divisons le problème en deux :

- Une force verticale appliquée à l'extrémité
 $F_v = F_0 \cos(\alpha)$
- Une force horizontale appliquée à l'extrémité
 $F_h = F_0 \sin(\alpha)$



Exemple

Charge inclinée

■ Premier problème : la force verticale

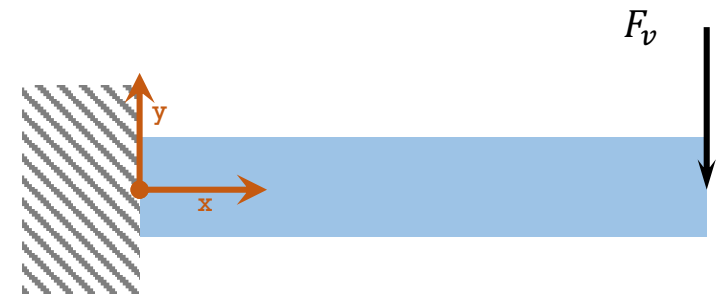
- Force de cisaillement: $V(x) = F_v$
- Moment de flexion: $M_z(x) = F_v(x - L)$

■ Distribution de la contrainte

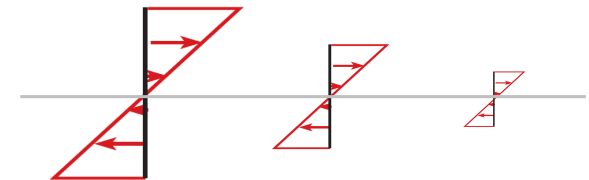
$$\square \sigma_{x,vert}(x, y) = -\frac{M_z(x)}{I_{z,y_0}} y$$

- l'origine est située au milieu de la barre, donc ici $y_0 = 0$

La valeur de la contrainte à la surface de la poutre dépend de x , mais l'axe neutre reste à $y = 0$



$$\begin{aligned} \sigma_x(x, y) &= -\frac{F_v(x - L)}{\frac{t^4}{12}} y \\ &= -\frac{12F_0 \cos(\alpha)}{t^4} (x - L)y \end{aligned}$$



Exemple

Charge inclinée

■ 2^{ième} problème : la force horizontale

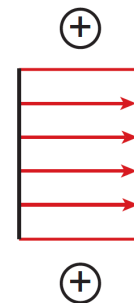
■ Force interne: $N(x) = F_h$

■ Répartition de la contrainte

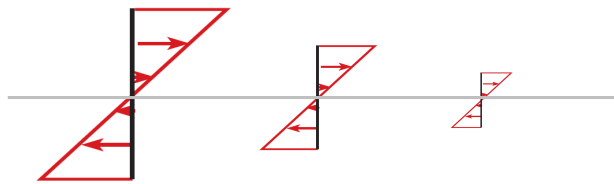
$$\sigma_{x,horiz}(x, y) = \frac{F_h}{A}$$



$$\sigma_x(x, y) = \frac{F_h}{A} = \frac{F_0 \sin(\alpha)}{t^2}$$

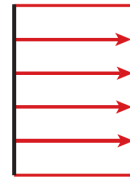


$$\sigma_x(x, y) = -\frac{12F}{t^4}(x - L)y$$



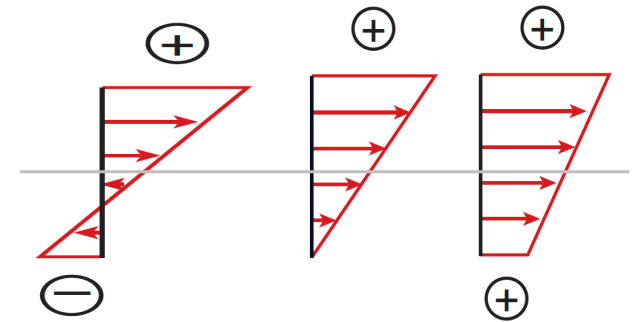
Contrainte due à F (l'axe neutre est au centre)

+

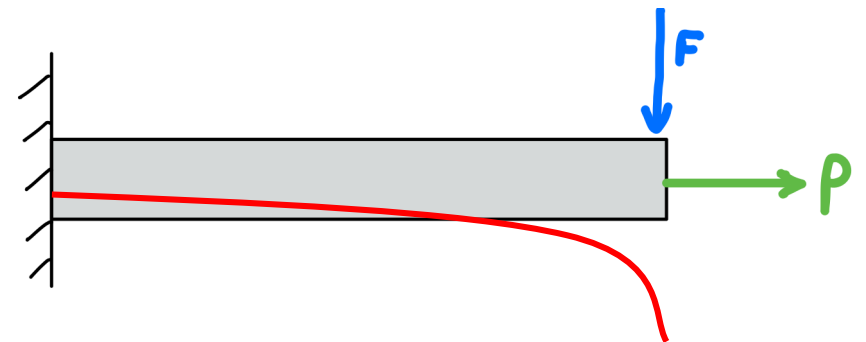
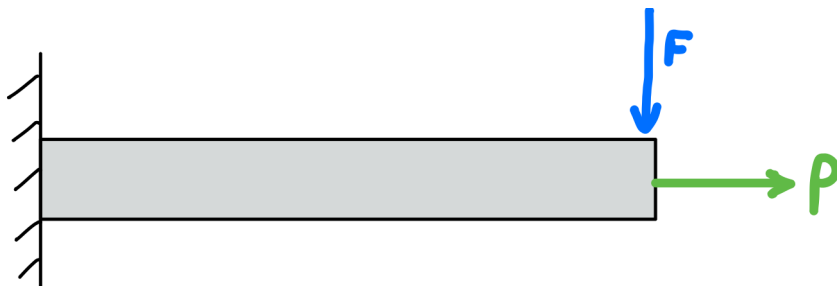


Contrainte due à P
(constante partout)

=



Contrainte totale



Exemple

Charge inclinée



■ Combinons:

$$\sigma_x(x, y) = -\frac{12F_0 \cos(\alpha)}{t^4}(x - L)y + \frac{F_0 \sin(\alpha)}{t^2}$$

■ La position à laquelle le contrainte (et la déformation relative) valent zéro:

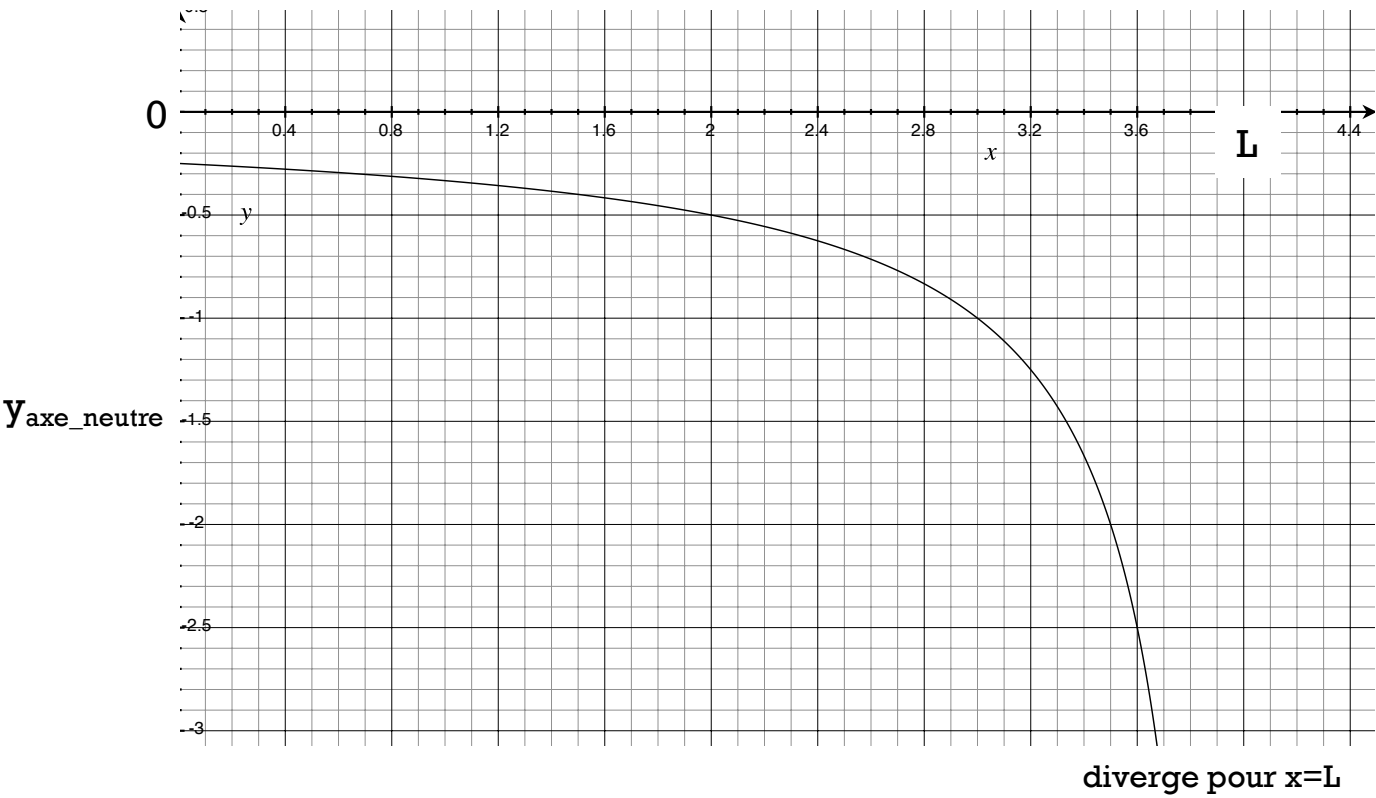
$$\sigma_x(x, y_{\text{nouvel_axe_neutre}}) = 0$$

$$-\frac{12F_0 \cos(\alpha)}{t^4}(x - L)y_{\text{n.a.neutre}} + \frac{F_0 \sin(\alpha)}{t^2} = 0$$

$$y_{\text{n.a.neutre}} = \frac{\sin(\alpha)}{\cos(\alpha)} \frac{t^2}{12} \frac{1}{x - L} = \frac{t^2 \tan(\alpha)}{12} \frac{1}{x - L}$$

■ La position de l'axe neutre (où $\sigma_x(x) = 0$) n'est pas constante le long de la poutre!

Positon axe neutre en fonction de x



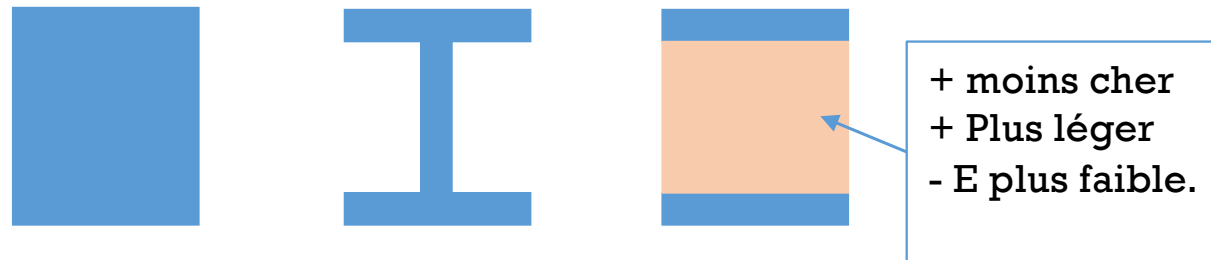
Semaine 8a – partie 2

Objectifs d'apprentissage de cette partie

- Pour des poutres composites:
 - Exprimer déformation relative dans les différentes couches, et savoir qu'elle est continue
 - Exprimer contraintes dans les différentes couches, et savoir qu'elle est dis-continue
 - Calculer axe neutre composite
 - Formule flexion pour poutres composites

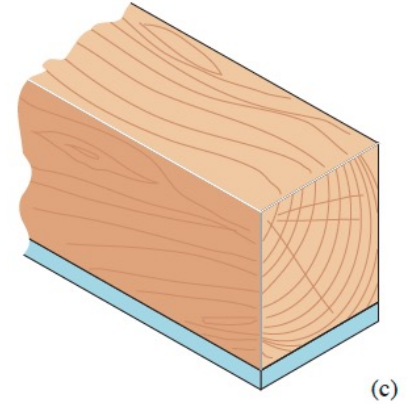
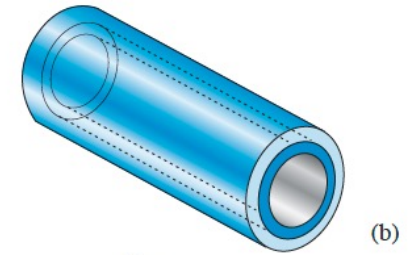
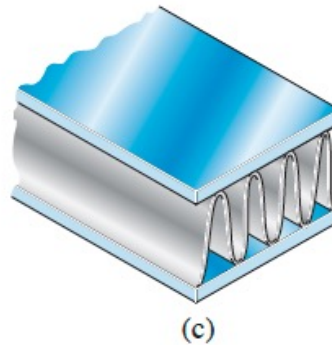
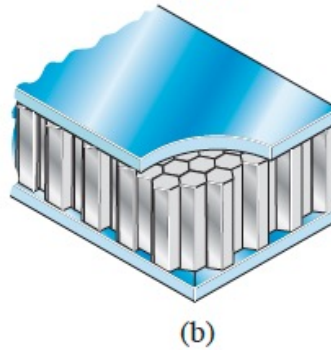
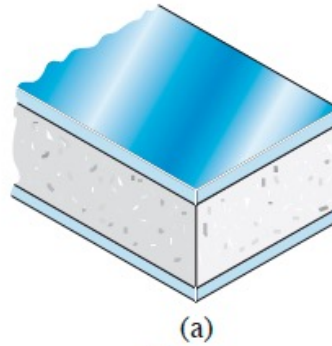
Poutres composites

- Jusqu'à maintenant, les poutres ont été homogènes, faites d'un seul matériau.
- Nous avons vu que certaines sections sont plus efficaces que d'autres; elles peuvent mieux résister aux charges
- nous pouvons faire (beaucoup) mieux avec des composites
 - comprendre la distribution des contraintes et déformations permet de concevoir des poutres plus performantes, plus légères, moins chères, plus efficaces

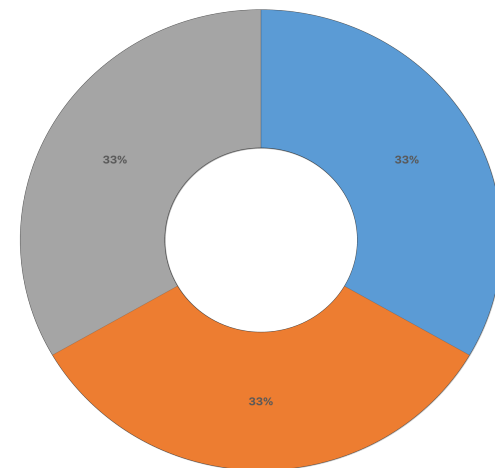
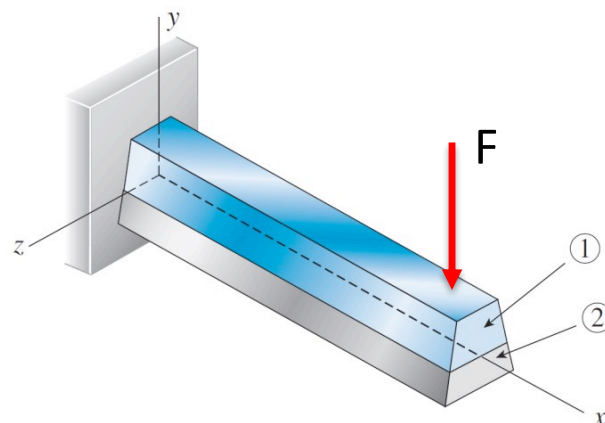


On met à l'extérieur de la poutre le matériau "costaud" car c'est là que les contraintes sont élevées:

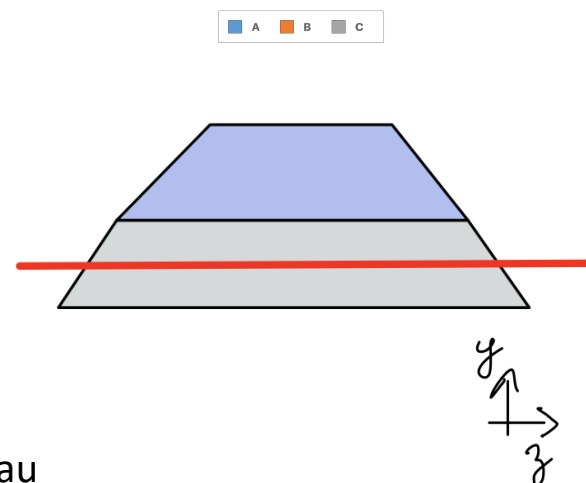
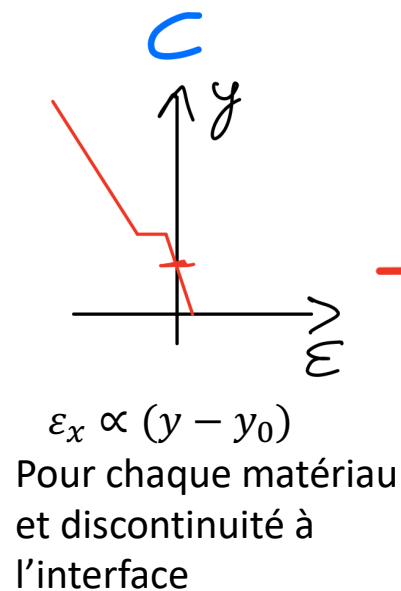
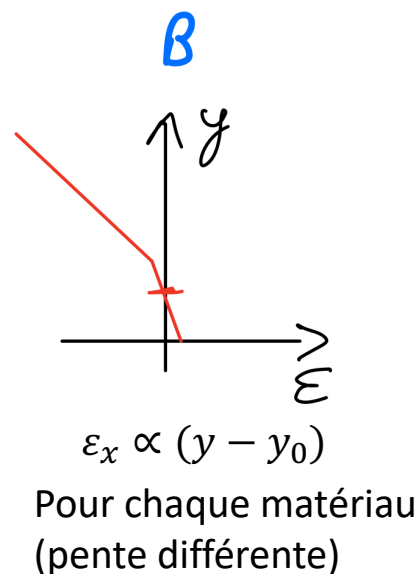
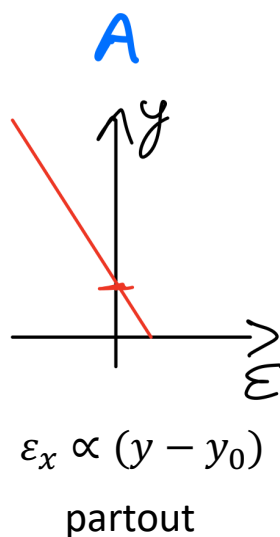
Au centre, peu de contraintes, on peut utiliser un matériau léger et « faible ».

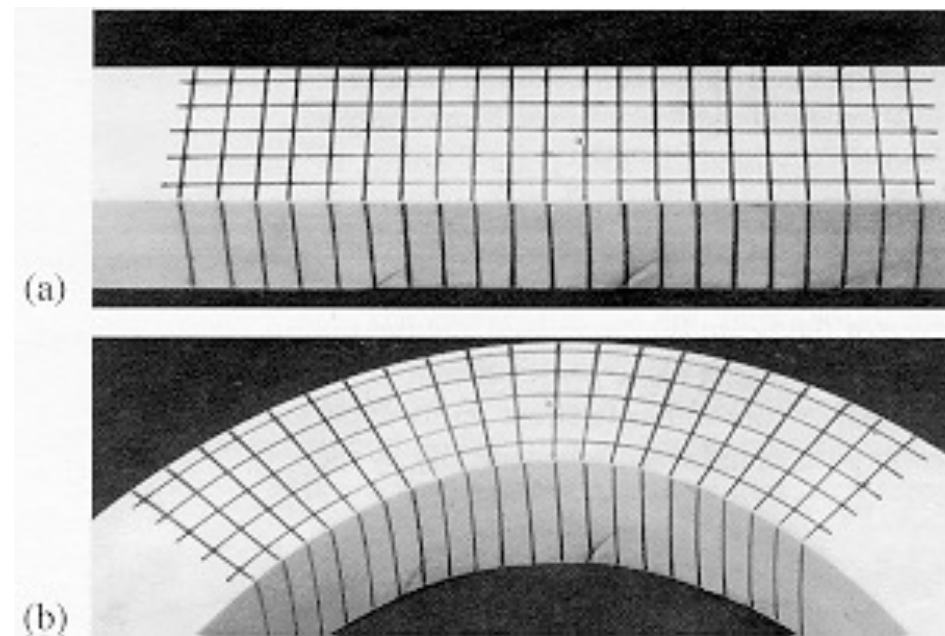


Déformation relative dans une poutre composite: quel graphe est juste?



A
B
C





Les plans normaux à l'axe de la poutre avant la flexion resteront plan après fléchissement

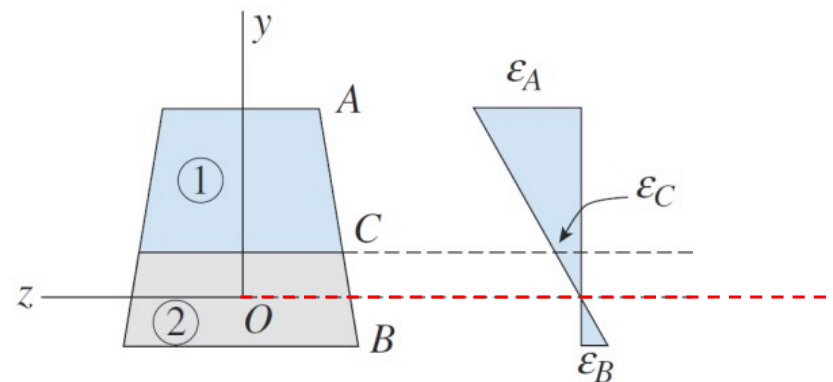
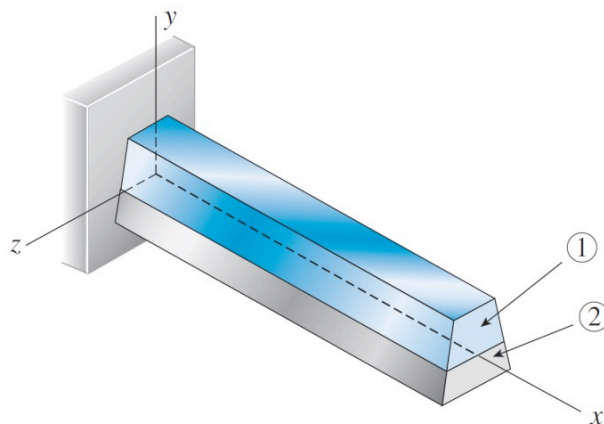
Déformation relative ε_x dans une poutre Composite en flexion pure

- Les plans normaux à l'axe de la poutre avant la flexion restent plan après fléchissement
- Après déformation, l'axe neutre garde la même longueur
- mais pour toute autre ligne parallèle:

$$ds = (\rho - (y - y_0)) d\theta = ds_0 - (y - y_0) \frac{ds_0}{\rho} \rightarrow$$

$$\varepsilon_x = -\frac{y - y_0}{\rho}$$

(comme poutre mono-matériau, même raisonnement)



- Dans cette figure, $y = 0$ a été placé à l'axe neutre
- attention: **l'axe neutre d'un composite n'est pas situé au centroïde de l'objet!**

Contraintes normales σ_x dans poutre Composite

Flexion pure - Contrainte normale σ_x en fonction de y

- $\varepsilon_x = -\frac{y-y_0}{\rho}$

- Mais le calcul de la contrainte σ_x est différent que mono-matériau

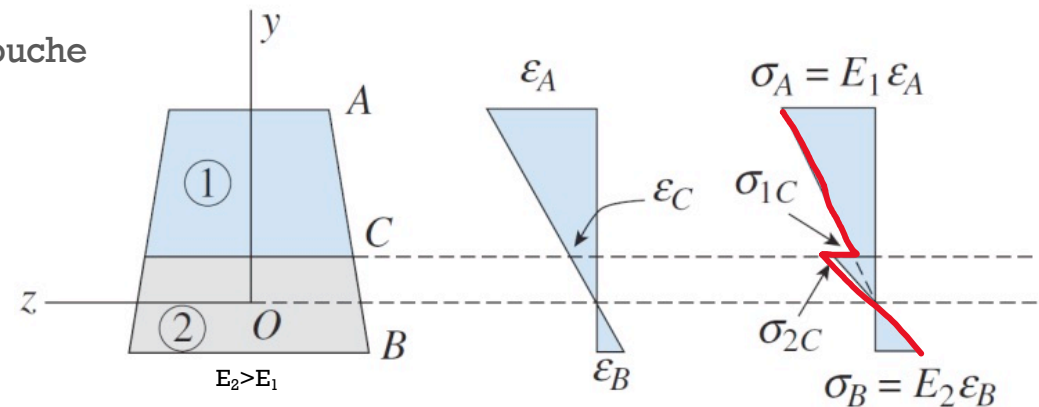
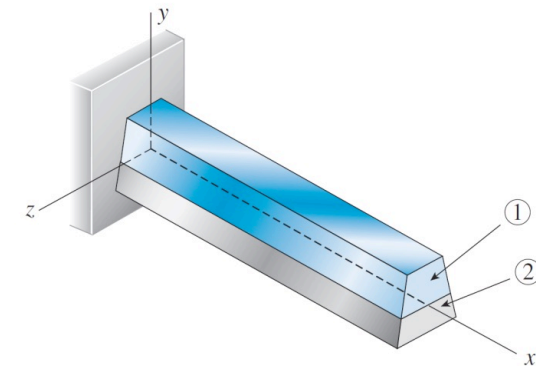
- Utiliser la loi de Hooke?

~~$$\sigma_x = E \varepsilon_x = -E \frac{y-y_0}{\rho}$$~~

pas de façon globale, faut le faire couche par couche

$$\sigma_A = E_1 \varepsilon_A \quad \sigma_B = E_2 \varepsilon_B$$

$$\sigma_{x,i} = E_i \varepsilon_x = -E_i \frac{y-y_0}{\rho}$$

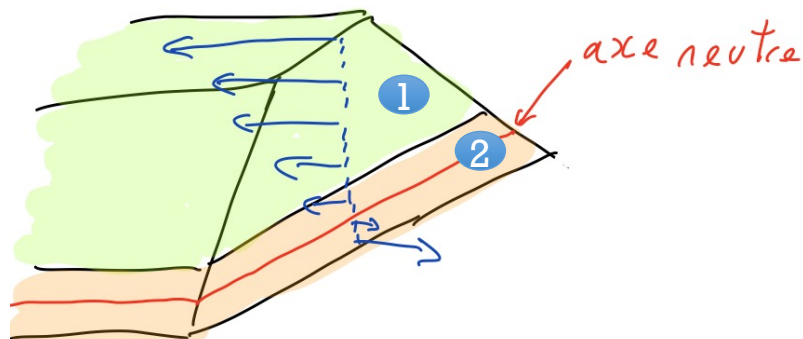


$\varepsilon(y)$ est continue, mais $\sigma(y)$ peut être discontinue aux interfaces

Calcul de l'axe neutre pour une poutre composite

Sans forces axiales

- Nous « coupons » (méthode des sections) puis



$$\sum F_x = N = 0$$

$$\iint_{\text{section1}} \sigma_{x1} dA + \iint_{\text{section2}} \sigma_{x2} dA = 0$$

$$\sigma_{x,i} = -E_i \frac{y - y_0}{\rho}$$

$$E_1 \iint_{\text{section1}} (y - y_0) dydz + E_2 \iint_{\text{section2}} (y - y_0) dx dz = 0$$

$$y_0 = \frac{E_1 \iint_1 y dA + E_2 \iint_2 y dA}{E_1 \iint_1 dA + E_2 \iint_2 dA}$$

Attention au choix de l'origine pour les intégrales

Calcul de l'axe neutre pour une poutre composite

Sans forces axiales

■ Plus généralement

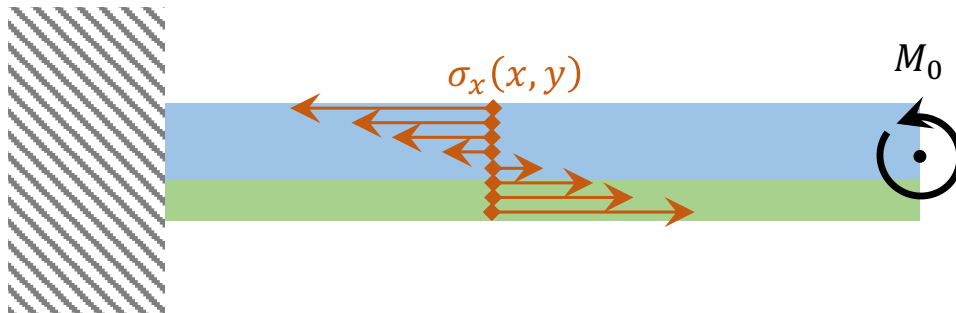
$$\sum F_x = N = 0$$

$$N = \iint \sigma_x(x, y) dy dz = \sum_i \iint E_i \varepsilon_x(x, z) dy dz = - \sum_i \iint E_i \frac{(y - y_0)}{\rho} dy dz = 0$$

chaque intégrale est seulement sur la section yz du matériau i: $dA = dx dz$

$$y_0 = \frac{\sum_i \int E_i \frac{y}{\rho} dA_i}{\sum_i \int \frac{E_i}{\rho} dA_i} = \frac{\sum_i \int E_i y dA_i}{\sum_i \int E_i dA_i} = \frac{\sum_i E_i \int y dA_i}{\sum_i E_i \int dA_i} = \frac{\sum_i E_i Q_i}{\sum_i E_i A_i} = y_0$$

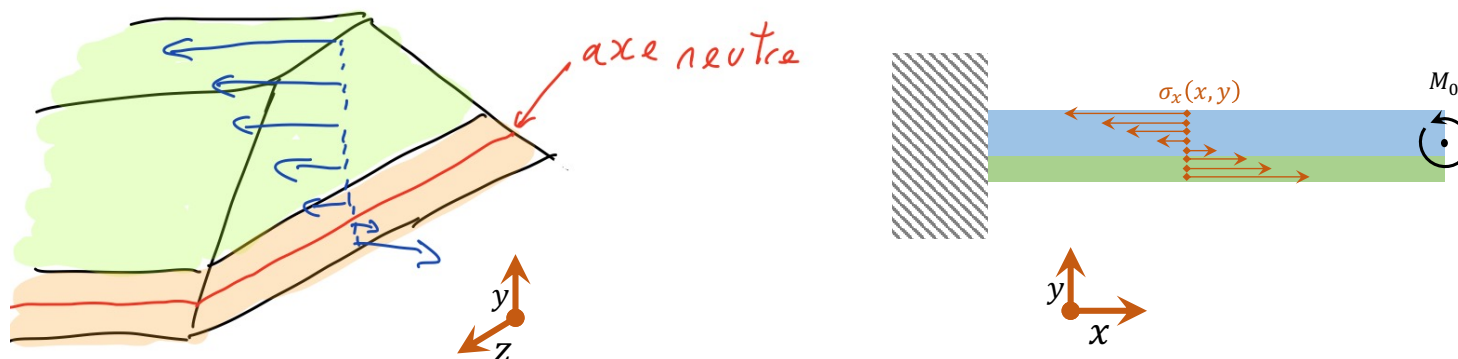
Ce un centroïde pondéré par le module de Young



$$Q_i = \int_{\text{matériau } i} y dy dz$$

Contraintes normales dans une poutre Composite

Lien entre Moment de flexion $M_z(x)$ et contraintes normales



Moment de flexion $M_z(x) = M_0$ dans cet exemple

$\sum M = 0$ pour chaque section dans le plan yz

$$M_z(x) + \iint \sigma_x(x, y)(y - y_0) dA = 0$$

Contraintes normales dans une poutre Composite

Lien entre Moment de flexion et contraintes normales

Nous pouvons calculer le moment créé par les contraintes normales (par rapport à l'axe neutre)

$$M_z(x) = - \iint \sigma_x(x, y)(y - y_0) dA = \sum_i \iint E_i \frac{(y - y_0)^2}{\rho} dA$$

$$M_z(x) = \frac{1}{\rho} \langle EI_{z,y_0} \rangle;$$

avec $\langle EI_{z,y_0} \rangle = \sum_i E_i \iint (y - y_0)^2 dA = \sum_i E_i I_{z,y_0,i}$

Rigidité en flexion

$$\sigma_x(x, y) = - \frac{E(y) M_z(x)}{\langle EI_{z,y_0} \rangle} (y - y_0)$$

Formule flexion
pour poutres
composites

■ Note: Si l'origine est prise sur l'axe neutre: $y_0 = 0$

$I_{z,y_0,i}$ = moment d'inertie de l'objet "i" par rapport à l'axe neutre y_0 du composite (pas par rapport à l'axe neutre de l'objet i !)

Exemple. Charges uniquement en y

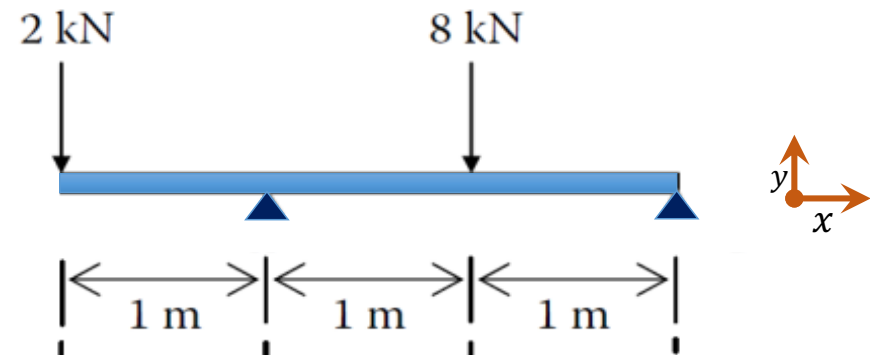
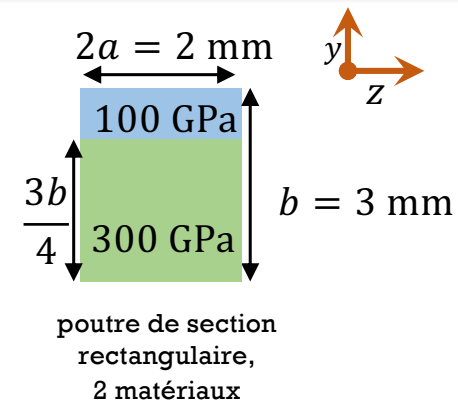
Poutre composite avec 2 charges ponctuelles

- Trouver les coordonnées x et y des points où la contrainte normale sera maximum

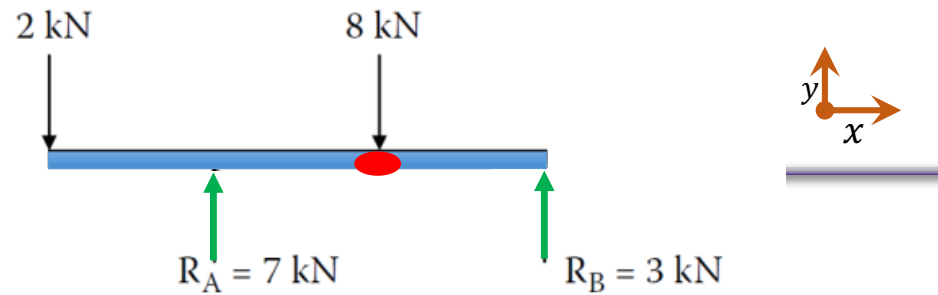
$$\sigma_x(x, y) = - \frac{E(y)M_z(x)}{\langle EI_{z,y_0} \rangle} (y - y_0)$$

- Pour maximiser σ_x nous devons:

1. trouver x où $M_z(x)$ est maximum
2. trouver y où $E(y)(y - y_0)$ est maximum
3. calculer $\langle EI_{z,y_0} \rangle$



Exemple

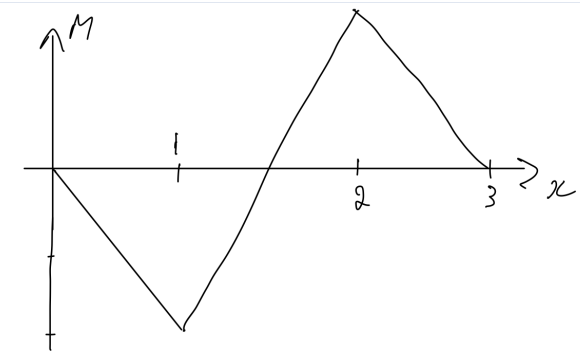


■ Partie 1:

□ Calculer (puis maximiser) $M_z(x)$

$$V(x) = \begin{cases} -2 \text{ kN} & 0 \leq x \leq 1 \\ 5 \text{ kN} & 1 \leq x \leq 2 \\ -3 \text{ kN} & 2 \leq x \leq 3 \end{cases}$$

$$M_z(x) = \begin{cases} -2x \text{ kN.m} & 0 \leq x \leq 1 \\ 5x - 7 \text{ kN.m} & 1 \leq x \leq 2 \\ -3x + 9 \text{ kN.m} & 2 \leq x \leq 3 \end{cases}$$



■ $M_z(x)$ est maximum pour $x = 2 \text{ m}$;

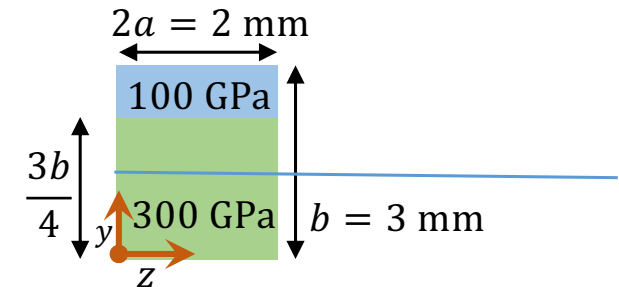
$$M_z(x = 2 \text{ m}) = 3 \frac{\text{kN}}{\text{m}}$$

Exemple

■ Partie 2

- Maximiser $E(y)(y - y_0)$
- Nous calculons d'abord la position de l'axe neutre:

$$\begin{aligned}
 y_0 &= \frac{\sum_i \int E_i y dA}{\sum_i \int E_i dA} \\
 &= \frac{E_1 \int_{z=0}^{z=2a} dz \int_0^{\frac{3b}{4}} y dy + E_2 \int_{z=0}^{z=2a} dz \int_{\frac{3b}{4}}^b y dy}{E_1 \int_{z=0}^{z=2a} dz \int_0^{\frac{3b}{4}} dy + E_2 \int_{z=0}^{z=2a} dz \int_{\frac{3b}{4}}^b dy} \\
 &= \frac{300\text{GPa} \cdot 2a \cdot \int_0^{\frac{3b}{4}} y dy + 100\text{GPa} \cdot 2a \cdot \int_{\frac{3b}{4}}^b y dy}{300\text{GPa} \cdot 2a \cdot \frac{3b}{4} + 100\text{GPa} \cdot 2a \cdot \frac{b}{4}} \\
 &= \frac{17}{40} b = 0.425b
 \end{aligned}$$



Exemple

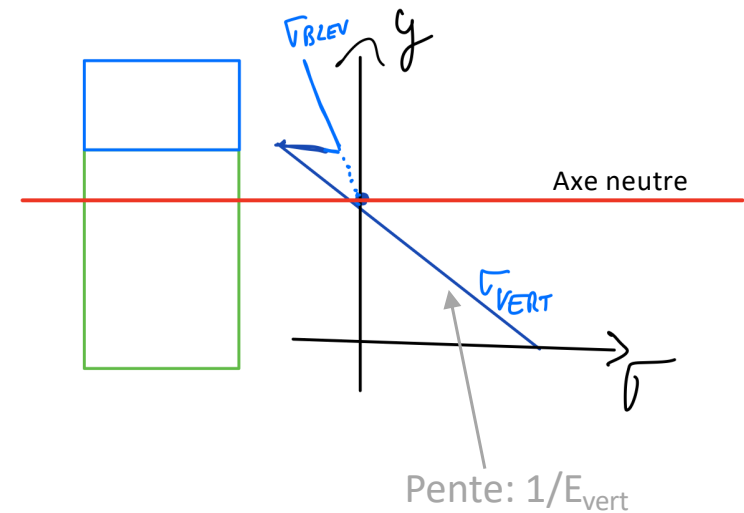
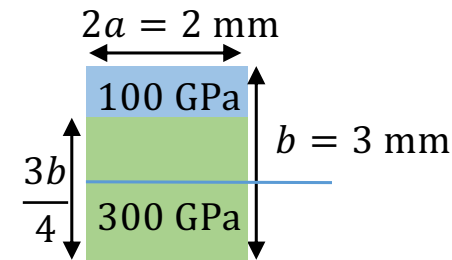
■ Partie 2: Maximiser $E(y)(y - y_0)$

□ Nous avons trouvé l'axe neutre: $y_0 = \frac{17}{40}b$

□ Maintenant, nous maximisons en comparant $E_i(y - y_0)$ sur la surface supérieure et la surface inférieure de la poutre, car c'est la que $y - y_0$ sera le plus grand

- $E(y_{top})|y_{top} - y_0| = E(b) \left| b - \frac{17}{40}b \right| = 100\text{GPa} \cdot \frac{23}{40}b = 57.5 \text{ GPa} \cdot b$
- $E(y_{bot})|y_{bot} - y_0| = E(0) \left| 0 - \frac{17}{40}b \right| = 300\text{GPa} \cdot \frac{17}{40}b = 127.5 \text{ GPa} \cdot b$

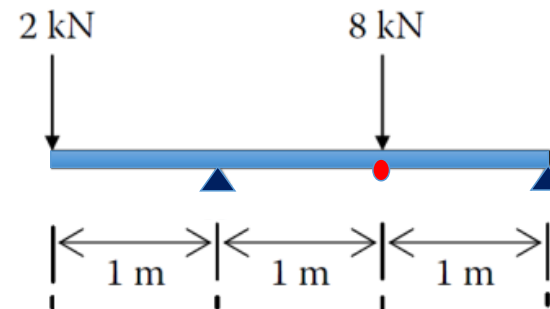
□ Le maximum de $E(y)(y - y_0)$ est donc tout en bas de la poutre à $y = 0$



Exemple

■ Partie 3

$$\sigma_x(x, y) = -\frac{E(y)M_z(x)}{\langle EI_{z,y_0} \rangle} (y - y_0)$$



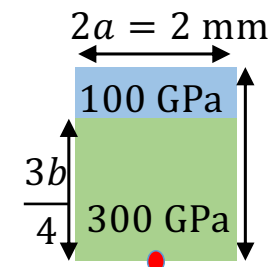
■ La contrainte est maximum pour $x=2$ m et $y=0$ m

$$\langle EI_{z,y_0} \rangle = E_1 I_{1,y_0} + E_2 I_{2,y_0} =$$

$$= E_1 (I_{1,y_1} + A_1 (y_1 - y_0)^2) + E_2 (I_{2,y_2} + A_2 (y_2 - y_0)^2)$$

(Steiner pour décaler les axes pour le calcul des I_i, y_0)

$$I_{1,y_1} = \frac{(2a)(3b/4)^3}{12} \quad I_{2,y_2} = \frac{(2a)(b/4)^3}{12}$$



Est-ce que le max de $E(y)(y - y_0)$ aurait pu être à l'interface?
 Par exemple, si la partie bleu est souple, eg $E_{\text{bleu}} = 1 \text{ GPa}$?

- Dans ce cas, les contraintes à $y = 0$ (en bas) et à $y = 3b/4$ (l'interface) seront quasi-égales, et toutes 2 beaucoup plus grandes qu'à $y=b$ (le dessus)
- Mais toujours contrainte bas $>$ contrainte à interface, car y_0 sera toujours juste un poil plus haut que $3b/8$, car la partie blue décalera toujours l'axe neutre vers le haut

